

(19)日本国特許庁(JP)

(12)特許公報(B1)

(11)特許番号
特許第7493697号
(P7493697)

(45)発行日 令和6年5月31日(2024.5.31)

(24)登録日 令和6年5月23日(2024.5.23)

(51)国際特許分類 F I
G 0 6 N 3/0464(2023.01) G 0 6 N 3/0464
G 0 6 N 3/02 (2006.01) G 0 6 N 3/02

請求項の数 8 (全43頁)

(21)出願番号	特願2024-519956(P2024-519956)	(73)特許権者	000006013 三菱電機株式会社 東京都千代田区丸の内二丁目7番3号
(86)(22)出願日	令和4年7月1日(2022.7.1)	(74)代理人	110002491 弁理士法人クロスボーダー特許事務所
(86)国際出願番号	PCT/JP2022/026498	(72)発明者	西田 悠太郎 東京都千代田区丸の内二丁目7番3号 三菱電機株式会社内
審査請求日	令和6年4月1日(2024.4.1)	(72)発明者	安田 聖 東京都千代田区丸の内二丁目7番3号 三菱電機株式会社内
早期審査対象出願		(72)発明者	小関 義博 東京都千代田区丸の内二丁目7番3号 三菱電機株式会社内
		(72)発明者	花岡 悟一郎

最終頁に続く

(54)【発明の名称】 推論検証システムおよび推論検証方法

(57)【特許請求の範囲】

【請求項1】

推論処理の対象となるデータである小数値を整数値で表現し、前記整数値を畳み込みニューラルネットワークのパラメータとして扱って推論モデルを実行して、前記畳み込みニューラルネットワークの各層の計算結果を含む推論結果を得る推論部と、
前記畳み込みニューラルネットワークの層ごとに、前記層の前記計算結果を入力にして前記層の種類に応じたプロトコルの証明生成アルゴリズムを実行して、前記畳み込みニューラルネットワークの各層に対する前記証明生成アルゴリズムの実行結果を含む証明を得る証明部と、
前記畳み込みニューラルネットワークの層ごとに、前記層の前記実行結果を入力にして前記層の種類に応じた前記プロトコルの検証アルゴリズムを実行して、前記畳み込みニューラルネットワークの各層に対する前記検証アルゴリズムの実行結果を含む検証結果を得る検証部と、
 を備える推論検証システム。

10

【請求項2】

The ReLU Layerプロトコルが、前記畳み込みニューラルネットワークのReLU活性化層に応じた前記プロトコルである
 請求項1に記載の推論検証システム。

【請求項3】

The Affine Layerプロトコルが、前記畳み込みニューラルネットワーク

20

の A f f i n e 層に応じた前記プロトコルである
請求項 1 または請求項 2 に記載の推論検証システム。

【請求項 4】

The Convolution Layer プロトコルが、前記畳み込みニューラルネットワークの畳み込み層に応じた前記プロトコルである
請求項 1 または請求項 2 に記載の推論検証システム。

【請求項 5】

The Average Pooling Layer プロトコルが、前記畳み込みニューラルネットワークの Average Pooling 層に応じた前記プロトコルである
請求項 1 または請求項 2 に記載の推論検証システム。

10

【請求項 6】

The Max Pooling Layer プロトコルが、前記畳み込みニューラルネットワークの Max Pooling 層に応じた前記プロトコルである
請求項 1 または請求項 2 に記載の推論検証システム。

【請求項 7】

The SoftMax Layer プロトコルが、前記畳み込みニューラルネットワークの SoftMax 層に応じた前記プロトコルである
請求項 1 または請求項 2 に記載の推論検証システム。

【請求項 8】

推論処理の対象となるデータである小数値を整数値で表現し、前記整数値を畳み込みニューラルネットワークのパラメータとして扱って推論モデルを実行して、前記畳み込みニューラルネットワークの各層の計算結果を含む推論結果を得て、前記畳み込みニューラルネットワークの層ごとに、前記層の前記計算結果を入力にして前記層の種類に応じたプロトコルの証明生成アルゴリズムを実行して、前記畳み込みニューラルネットワークの各層に対する前記証明生成アルゴリズムの実行結果を含む証明を得て、前記畳み込みニューラルネットワークの層ごとに、前記層の前記実行結果を入力にして前記層の種類に応じた前記プロトコルの検証アルゴリズムを実行して、前記畳み込みニューラルネットワークの各層に対する前記検証アルゴリズムの実行結果を含む検証結果を得る推論検証方法。

20

【発明の詳細な説明】

30

【技術分野】

【0001】

本開示は、ゼロ知識証明による推論モデルの検証に関するものである。

【背景技術】

【0002】

ニューラルネットワークによる A I 推論技術は、データ分類などの機械学習タスクで大きな成功を収めている。A I は人工知能を略称である。

ニューラルネットワークによるデータ分析を行うためには、事前に大量の学習データを用いて、推論モデルの学習を行う必要がある。この時、学習データを用意することの困難さ及び計算資源の制約などの理由から、ユーザが自身の環境で推論モデルを構築することが困難である場合がある。

40

こういった観点から、近年ではクラウド上でニューラルネットワークによるデータ分析を提供するサービス (M L a a S) がある。このサービスにより、クライアントは、分析したいデータをクラウド上にアップロードすることで、提供されている推論モデルによる推論を実行できる。そのため、クライアントは、推論モデルの構築にコストを費やす必要がない。

M L a a S は、M a c h i n e L e a r n i n g a s a S e r v i c e の略称である。

【0003】

M L a a S において、クライアントが分析したいデータを推論モデルの提供者に送信し

50

て推論処理を委託する場合、サービス提供者は、クライアントに対して、推論結果が実際に推論モデルによって分析が行われた結果であること、を証明する必要がある。

最も簡単な解決策は、サービス提供者が推論モデル自体を公開することである。しかし、推論モデルはサービス提供者の知的財産であるため、推論モデルをクライアントに開示することは難しい。

【0004】

非特許文献1は、推論モデルによる推論処理が実際に実行されたことを証明することをゼロ知識証明を用いて可能にする方法を提案している。

この方法により、サービス提供者は、クライアントに対して、推論結果が推論モデルによる分析処理によって得られたものであることを証明することが可能になる。

10

【先行技術文献】

【非特許文献】

【0005】

【文献】zkCNN: Zero Knowledge Proofs for Convolutional Neural Network Predictions and Accuracy. Tianyi Liu, Xiang Xie, and Yupeng Zhang. 2021.

【発明の概要】

【発明が解決しようとする課題】

【0006】

非特許文献1の方法は、使用されるゼロ知識証明のプロトコルの制約により、推論モデルのパラメータとして整数値しか扱うことができない。

20

【0007】

本開示は、パラメータが小数である推論モデルの検証を可能にすることを目的とする。

【課題を解決するための手段】

【0008】

本開示の推論検証システムは、

推論処理の対象となるデータである小数値を整数値で表現し、前記整数値を畳み込みニューラルネットワークのパラメータとして扱って推論モデルを実行して推論結果を得る推論部と、

30

前記推論結果を入力にして証明生成アルゴリズムを実行して証明を得る証明部と、

前記証明を入力にして検証アルゴリズムを実行して検証結果を得る検証部と、を備える。

【発明の効果】

【0009】

本開示によれば、パラメータが小数である推論モデルの検証が可能になる。

【図面の簡単な説明】

【0010】

【図1】実施の形態1における推論検証システム100の構成図。

【図2】実施の形態1におけるパラメータ生成装置200の構成図。

40

【図3】実施の形態1における鍵生成装置300の構成図。

【図4】実施の形態1における推論装置400の構成図。

【図5】実施の形態1における証明装置500の構成図。

【図6】実施の形態1における検証装置600の構成図。

【図7】実施の形態1における推論検証方法(パラメータ生成)のフローチャート。

【図8】実施の形態1における推論検証方法(鍵生成)のフローチャート。

【図9】実施の形態1における推論検証方法(推論)のフローチャート。

【図10】実施の形態1における推論検証方法(証明)のフローチャート。

【図11】実施の形態1における推論検証方法(検証)のフローチャート。

【図12】実施の形態1におけるパラメータ生成装置200のハードウェア構成図。

50

【図 1 3】実施の形態 1 における鍵生成装置 3 0 0 のハードウェア構成図。

【図 1 4】実施の形態 1 における推論装置 4 0 0 のハードウェア構成図。

【図 1 5】実施の形態 1 における証明装置 5 0 0 のハードウェア構成図。

【図 1 6】実施の形態 1 における検証装置 6 0 0 のハードウェア構成図。

【発明を実施するための形態】

【0 0 1 1】

実施の形態および図面において、同じ要素または対応する要素には同じ符号を付している。説明した要素と同じ符号が付された要素の説明は適宜に省略または簡略化する。図中の矢印はデータの流れ又は処理の流れを主に示している。

【0 0 1 2】

実施の形態 1 .

推論検証システム 1 0 0 について、図 1 から図 1 6 に基づいて説明する。

【0 0 1 3】

推論検証システム 1 0 0 は、推論処理を検証することが可能なシステムである。

【0 0 1 4】

*** 構成の説明 ***

図 1 に基づいて、推論検証システム 1 0 0 の構成を説明する。

推論検証システム 1 0 0 は、パラメータ生成装置 2 0 0 と鍵生成装置 3 0 0 と推論装置 4 0 0 と証明装置 5 0 0 と検証装置 6 0 0 といった装置を備える。

これらの装置は、ネットワークを介して互いに通信する。ネットワークの具体例はインターネットである。

【0 0 1 5】

図 2 に基づいて、パラメータ生成装置 2 0 0 の構成を説明する。

パラメータ生成装置 2 0 0 は、プロセッサ 2 0 1 とメモリ 2 0 2 と補助記憶装置 2 0 3 と通信装置 2 0 4 と入出力インタフェース 2 0 5 といったハードウェアを備えるコンピュータである。これらのハードウェアは、信号線を介して互いに接続されている。

【0 0 1 6】

プロセッサ 2 0 1 は、パラメータ生成装置 2 0 0 のプロセッサである。

プロセッサは、演算処理を行う IC であり、他のハードウェアを制御する。例えば、プロセッサは CPU である。

IC は、Integrated Circuit の略称である。

CPU は、Central Processing Unit の略称である。

【0 0 1 7】

メモリ 2 0 2 は、パラメータ生成装置 2 0 0 のメモリである。

メモリは、揮発性または不揮発性の記憶装置である。メモリは、主記憶装置またはメインメモリとも呼ばれる。例えば、メモリは RAM である。

メモリ 2 0 2 に記憶されたデータは必要に応じて補助記憶装置 2 0 3 に保存される。

RAM は、Random Access Memory の略称である。

【0 0 1 8】

補助記憶装置 2 0 3 は、パラメータ生成装置 2 0 0 の補助記憶装置である。

補助記憶装置は不揮発性の記憶装置である。例えば、補助記憶装置は、ROM、HDD、フラッシュメモリまたはこれらの組み合わせである。

補助記憶装置 2 0 3 に記憶されたデータは必要に応じてメモリ 2 0 2 にロードされる。

ROM は、Read Only Memory の略称である。

HDD は、Hard Disk Drive の略称である。

【0 0 1 9】

通信装置 2 0 4 は、パラメータ生成装置 2 0 0 の通信装置である。

通信装置はレシーバ及びトランスミッタである。例えば、通信装置は通信チップまたは NIC である。

パラメータ生成装置 2 0 0 の通信は通信装置 2 0 4 を用いて行われる。

10

20

30

40

50

N I C は、N e t w o r k I n t e r f a c e C a r d の略称である。

【 0 0 2 0 】

入出力インタフェース 2 0 5 は、パラメータ生成装置 2 0 0 の入出力インタフェースである。

入出力インタフェースは、入力装置および出力装置が接続されるポートである。例えば、入出力インタフェースは U S B 端子であり、入力装置はキーボードおよびマウスであり、出力装置はディスプレイである。

パラメータ生成装置 2 0 0 の入出力は入出力インタフェース 2 0 5 を用いて行われる。

U S B は、U n i v e r s a l S e r i a l B u s の略称である。

【 0 0 2 1 】

パラメータ生成装置 2 0 0 は、受付部 2 1 0 と生成部 2 2 0 と出力部 2 3 0 といった要素を備える。これらの要素はソフトウェアで実現される。

【 0 0 2 2 】

補助記憶装置 2 0 3 には、受付部 2 1 0 と生成部 2 2 0 と出力部 2 3 0 としてコンピュータを機能させるためのパラメータ生成プログラムが記憶されている。パラメータ生成プログラムは、メモリ 2 0 2 にロードされて、プロセッサ 2 0 1 によって実行される。

補助記憶装置 2 0 3 には、さらに、O S が記憶されている。O S の少なくとも一部は、メモリにロードされて、プロセッサによって実行される。

プロセッサ 2 0 1 は、O S を実行しながら、パラメータ生成プログラムを実行する。

O S は、O p e r a t i n g S y s t e m の略称である。

【 0 0 2 3 】

パラメータ生成プログラムの入出力データは記憶部 2 9 0 に記憶される。

メモリ 2 0 2 は記憶部 2 9 0 として機能する。但し、補助記憶装置 2 0 3、プロセッサ 2 0 1 内のレジスタおよびプロセッサ 2 0 1 内のキャッシュメモリなどの記憶装置が、メモリ 2 0 2 の代わりに、又は、メモリ 2 0 2 と共に、記憶部 2 9 0 として機能してもよい。

【 0 0 2 4 】

パラメータ生成装置 2 0 0 は、プロセッサ 2 0 1 を代替する複数のプロセッサを備えてもよい。

【 0 0 2 5 】

図 3 に基づいて、鍵生成装置 3 0 0 の構成を説明する。

鍵生成装置 3 0 0 は、プロセッサ 3 0 1 とメモリ 3 0 2 と補助記憶装置 3 0 3 と通信装置 3 0 4 と入出力インタフェース 3 0 5 といったハードウェアを備えるコンピュータである。これらのハードウェアは、信号線を介して互いに接続されている。

【 0 0 2 6 】

プロセッサ 3 0 1 は、鍵生成装置 3 0 0 のプロセッサである。

メモリ 3 0 2 は、鍵生成装置 3 0 0 のメモリである。

補助記憶装置 3 0 3 は、鍵生成装置 3 0 0 の補助記憶装置である。

通信装置 3 0 4 は、鍵生成装置 3 0 0 の通信装置である。

入出力インタフェース 3 0 5 は、鍵生成装置 3 0 0 の入出力インタフェースである。

【 0 0 2 7 】

鍵生成装置 3 0 0 は、受付部 3 1 0 と生成部 3 2 0 と出力部 3 3 0 といった要素を備える。これらの要素はソフトウェアで実現される。

【 0 0 2 8 】

補助記憶装置 3 0 3 には、受付部 3 1 0 と生成部 3 2 0 と出力部 3 3 0 としてコンピュータを機能させるための鍵生成プログラムが記憶されている。鍵生成プログラムは、メモリ 3 0 2 にロードされて、プロセッサ 3 0 1 によって実行される。

鍵生成装置 3 0 0 には、さらに、O S が記憶されている。

プロセッサ 3 0 1 は、O S を実行しながら、鍵生成プログラムを実行する。

【 0 0 2 9 】

鍵生成プログラムの入出力データは記憶部 3 9 0 に記憶される。

10

20

30

40

50

メモリ 302 は記憶部 390 として機能する。但し、補助記憶装置 303、プロセッサ 301 内のレジスタおよびプロセッサ 301 内のキャッシュメモリなどの記憶装置が、メモリ 302 の代わりに、又は、メモリ 302 と共に、記憶部 390 として機能してもよい。

【0030】

鍵生成装置 300 は、プロセッサ 301 を代替する複数のプロセッサを備えてもよい。

【0031】

図 4 に基づいて、推論装置 400 の構成を説明する。

推論装置 400 は、プロセッサ 401 とメモリ 402 と補助記憶装置 403 と通信装置 404 と入出力インタフェース 405 といったハードウェアを備えるコンピュータである。これらのハードウェアは、信号線を介して互いに接続されている。

10

【0032】

プロセッサ 401 は、推論装置 400 のプロセッサである。

メモリ 402 は、推論装置 400 のメモリである。

補助記憶装置 403 は、推論装置 400 の補助記憶装置である。

通信装置 404 は、推論装置 400 の通信装置である。

入出力インタフェース 405 は、推論装置 400 の入出力インタフェースである。

【0033】

推論装置 400 は、受付部 410 と推論部 420 と出力部 430 といった要素を備える。これらの要素はソフトウェアで実現される。

【0034】

補助記憶装置 403 には、受付部 410 と推論部 420 と出力部 430 としてコンピュータを機能させるための推論プログラムが記憶されている。推論プログラムは、メモリ 402 にロードされて、プロセッサ 401 によって実行される。

推論装置 400 には、さらに、OS が記憶されている。

プロセッサ 401 は、OS を実行しながら、推論プログラムを実行する。

【0035】

推論プログラムの入出力データは記憶部 490 に記憶される。

メモリ 402 は記憶部 490 として機能する。但し、補助記憶装置 403、プロセッサ 401 内のレジスタおよびプロセッサ 401 内のキャッシュメモリなどの記憶装置が、メモリ 402 の代わりに、又は、メモリ 402 と共に、記憶部 490 として機能してもよい。

30

【0036】

推論装置 400 は、プロセッサ 401 を代替する複数のプロセッサを備えてもよい。

【0037】

図 5 に基づいて、証明装置 500 の構成を説明する。

証明装置 500 は、プロセッサ 501 とメモリ 502 と補助記憶装置 503 と通信装置 504 と入出力インタフェース 505 といったハードウェアを備えるコンピュータである。これらのハードウェアは、信号線を介して互いに接続されている。

【0038】

プロセッサ 501 は、証明装置 500 のプロセッサである。

メモリ 502 は、証明装置 500 のメモリである。

補助記憶装置 503 は、証明装置 500 の補助記憶装置である。

通信装置 504 は、証明装置 500 の通信装置である。

入出力インタフェース 505 は、証明装置 500 の入出力インタフェースである。

【0039】

証明装置 500 は、受付部 510 と保管部 520 と証明部 530 と出力部 540 といった要素を備える。保管部 520 は、鍵保管部 521 と推論結果保管部 522 を備える。これらの要素はソフトウェアで実現される。

【0040】

補助記憶装置 503 には、受付部 510 と保管部 520 と証明部 530 と出力部 540 としてコンピュータを機能させるための証明プログラムが記憶されている。証明プログラ

50

ムは、メモリ 502 にロードされて、プロセッサ 501 によって実行される。

証明装置 500 には、さらに、OS が記憶されている。

プロセッサ 501 は、OS を実行しながら、証明プログラムを実行する。

【0041】

証明プログラムの入出力データは記憶部 590 に記憶される。

メモリ 502 は記憶部 590 として機能する。但し、補助記憶装置 503、プロセッサ 501 内のレジスタおよびプロセッサ 501 内のキャッシュメモリなどの記憶装置が、メモリ 502 の代わりに、又は、メモリ 502 と共に、記憶部 590 として機能してもよい。

【0042】

証明装置 500 は、プロセッサ 501 を代替する複数のプロセッサを備えてもよい。

10

【0043】

図 6 に基づいて、検証装置 600 の構成を説明する。

検証装置 600 は、プロセッサ 601 とメモリ 602 と補助記憶装置 603 と通信装置 604 と入出力インタフェース 605 といったハードウェアを備えるコンピュータである。これらのハードウェアは、信号線を介して互いに接続されている。

【0044】

プロセッサ 601 は、検証装置 600 のプロセッサである。

メモリ 602 は、検証装置 600 のメモリである。

補助記憶装置 603 は、検証装置 600 の補助記憶装置である。

通信装置 604 は、検証装置 600 の通信装置である。

20

入出力インタフェース 605 は、検証装置 600 の入出力インタフェースである。

【0045】

検証装置 600 は、受付部 610 と保管部 620 と検証部 630 と出力部 640 といった要素を備える。保管部 620 は、鍵保管部 621 と証明保管部 622 を備える。これらの要素はソフトウェアで実現される。

【0046】

補助記憶装置 603 には、受付部 610 と保管部 620 と検証部 630 と出力部 640 としてコンピュータを機能させるための検証プログラムが記憶されている。検証プログラムは、メモリ 602 にロードされて、プロセッサ 601 によって実行される。

検証装置 600 には、さらに、OS が記憶されている。

30

プロセッサ 601 は、OS を実行しながら、検証プログラムを実行する。

【0047】

検証プログラムの入出力データは記憶部 690 に記憶される。

メモリ 602 は記憶部 690 として機能する。但し、補助記憶装置 603、プロセッサ 601 内のレジスタおよびプロセッサ 601 内のキャッシュメモリなどの記憶装置が、メモリ 602 の代わりに、又は、メモリ 602 と共に、記憶部 690 として機能してもよい。

【0048】

検証装置 600 は、プロセッサ 601 を代替する複数のプロセッサを備えてもよい。

【0049】

*** 記法の説明 ***

40

以降の説明における記法を示す。

「A」が分布であるときに、「 $y \sim A$ 」は、 y を A からその分布に従ってランダムに選ぶことを指す。

「A」が集合であるときに、「 $y \sim A$ 」は、入力 x に対して、 y を A から一様に選ぶことを指す。

「p」は、任意の素数である。

「G」は、位数 p の群である。

「m」および「n」は、任意の自然数である。

「e」は、自然対数の底である。

「H」は、ハッシュ関数である。

50

- 「 D 」は、推論モデルの入力データの集合である。
「 x 」は、推論処理の対象となる入力データである。
「 M 」は、推論モデルである。
「 n 」が自然数であるとき、 $[n]$ は集合 $\{1, \dots, n\}$ である。
「 Z 」は、整数の集合である。
「 R 」は、実数の集合である。

【0050】

動作の説明

推論検証システム100の動作の手順は推論検証方法に相当する。また、推論検証システム100の動作の手順は推論検証プログラムによる処理の手順に相当する。

10

推論検証プログラムは、パラメータ生成プログラムと鍵生成プログラムと推論プログラムと証明プログラムと検証プログラムを含む。

各パラメータ生成プログラムは、光ディスクまたはフラッシュメモリ等の不揮発性の記録媒体にコンピュータ読み取り可能に記録（格納）することができる。

【0051】

図7に基づいて、推論検証方法におけるパラメータ生成装置200の動作を説明する。

ステップS210において、受付部210は、パラメータ生成装置200に入力されるパラメータ(x, D)を受け付ける。

例えば、パラメータ(x, D)は、管理者によってパラメータ生成装置200に入力される。

20

【0052】

ステップS220において、生成部220は、パラメータ(x, D)を入力にしてセットアップアルゴリズムを実行する。

これにより、公開パラメータ pp が生成される。

【0053】

セットアップアルゴリズムは、公開パラメータ pp を生成するためのアルゴリズムである。

例えば、セットアップアルゴリズム($Setup$)は、以下のように表される。

【0054】

【数1】

30

$$Setup(1^\lambda, D):$$

$$g_i \leftarrow \mathcal{G}$$

$$pp := (g_1, \dots, g_n)$$

40

【0055】

ステップS230において、出力部230は、公開パラメータ pp を出力する。

具体的には、出力部230は、公開パラメータ pp を鍵生成装置300へ送信する。

【0056】

図8に基づいて、推論検証方法における鍵生成装置300の動作を説明する。

ステップS310において、受付部310は、鍵生成装置300に入力される公開パラメータ pp を受け付ける。

具体的には、受付部310は、パラメータ生成装置200から公開パラメータ pp を受信する。

【0057】

50

ステップ S 3 2 0 において、生成部 3 2 0 は、公開パラメータ pp を入力にして鍵生成アルゴリズムを実行する。

これにより、公開鍵 pk と秘密鍵 sk が生成される。

【 0 0 5 8 】

鍵生成アルゴリズムは、公開鍵 pk と秘密鍵 sk を生成するためのアルゴリズムである。

例えば、鍵生成アルゴリズムは (Kg) は、以下のように表される。

【 0 0 5 9 】

【数 2】

$Kg(pp):$

10

$$h_i \leftarrow \mathcal{G}$$

$$s_j \leftarrow Z_p$$

$$pk := (g_1, \dots, g_n, h_1, \dots, h_m)$$

$$sk := (s_1, \dots, s_l)$$

20

【 0 0 6 0 】

ステップ S 3 3 0 において、出力部 3 3 0 は、公開鍵 pk と秘密鍵 sk を出力する。

具体的には、出力部 3 3 0 は、公開鍵 pk と秘密鍵 sk を証明装置 5 0 0 へ送信する。また、出力部 3 3 0 は、公開鍵 pk を検証装置 6 0 0 へ送信する。

【 0 0 6 1 】

図 4 に基づいて、推論検証方法における推論装置 4 0 0 の動作を説明する。

ステップ S 4 1 0 において、受付部 4 1 0 は、推論装置 4 0 0 に入力されるパラメータ (M, x) を受け付ける。

30

例えば、推論モデル M は、推論モデル M の提供者によって推論装置 4 0 0 に入力される。また、データ x は、クライアントによって推論装置 4 0 0 へ送信される。

推論モデル M は、推論処理のためのモデルである。

データ x は、推論処理の対象となるデータである。

【 0 0 6 2 】

ステップ S 4 2 0 において、推論部 4 2 0 は、推論モデル M とデータ x を入力にして推論処理アルゴリズムを実行する。

これにより、推論結果 c が生成される。

【 0 0 6 3 】

推論処理アルゴリズムは、推論結果 c を生成するためのアルゴリズムである。

40

例えば、推論処理アルゴリズム $(Classify)$ は、以下のように表される。

CNN は、推論モデル M によって実行される畳み込みニューラルネットワークである。

【 0 0 6 4 】

【数 3】

$Classify(M, x):$

$$c := CNN(x)$$

50

【0065】

ステップS430において、出力部430は、推論結果cを出力する。

具体的には、出力部430は、推論結果cを証明装置500へ送信する。

【0066】

図10に基づいて、推論検証方法における証明装置500の動作を説明する。

ステップS510において、受付部510は、公開鍵pkと秘密鍵skと推論結果cを受け付ける。

具体的には、受付部510は、鍵生成装置300から公開鍵pkと秘密鍵skを受信する。また、受付部510は、推論装置400から推論結果cを受信する。

【0067】

ステップS520において、鍵保管部521は、公開鍵pkと秘密鍵skを保管する。

また、推論結果保管部522は、推論結果cを保管する。

例えば、公開鍵pkと秘密鍵skと推論結果cは、補助記憶装置503に記憶される。

【0068】

ステップS530において、証明部530は、公開鍵pkと秘密鍵skと推論結果cを入力にして証明生成アルゴリズムを実行する。

これにより、証明Pが生成される。

【0069】

証明生成アルゴリズムは、証明Pを生成するためのアルゴリズムである。

証明生成アルゴリズム(Prove)の例について、以下に説明する。

【0070】

推論結果cは、次のように表される。c_iは、CNNのi層目の計算結果である。

$$c = c_1, \dots, c_n$$

【0071】

Prove_iは、計算結果c_iに対して証明P_iを生成するためのアルゴリズムである。

例えば、証明生成アルゴリズム(Prove)は、以下のように表される。

【0072】

【数4】

Prove(pk, sk, c):

$$P_1 := \text{Prove}_1(pk, sk, c_1), \dots, P_n := \text{Prove}_n(pk, sk, c_n)$$

$$P := (P_1, \dots, P_n)$$

【0073】

Prove_iの種類(P_a~P_f)は、以下の通りである。

(P_a) CNNの第i層がReLU活性化層である場合、Prove_iの種類はProve_{ReLU}である。

(P_b) CNNの第i層がAffine層である場合、Prove_iの種類はProve_{Affine}である。

(P_c) CNNの第i層が畳み込み層である場合、Prove_iの種類はProve_{conv}である。

(P_d) CNNの第i層がAverage Pooling層である場合、Prove_iの種類はProve_{AP}である。

(P_e) CNNの第i層がMax Pooling層である場合、Prove_iの種類はProve_{MP}である。

10

20

30

40

50

(P_f) CNNの第 i 層が $Soft\ Max$ 層である場合、 $Prove_i$ の種類は $Prove_{SoftMax}$ である。

【0074】

$Prove_i$ の各種類 ($P_a \sim P_f$) について後述する。

【0075】

ステップ S_{540} において、出力部 540 は、証明 P を出力する。

具体的には、出力部 540 は、証明 P を検証装置 600 へ送信する。

【0076】

図 11 に基づいて、推論検証方法における検証装置 600 の動作を説明する。

ステップ S_{610} において、受付部 610 は、公開鍵 pk と証明 P を受け付ける。 10

具体的には、受付部 610 は、鍵生成装置 300 から公開鍵 pk を受信する。また、受付部 610 は、証明装置 500 から証明 P を受信する。

【0077】

ステップ S_{620} において、鍵保管部 621 は、公開鍵 pk を保管する。

また、証明保管部 622 は、証明 P を保管する。

例えば、公開鍵 pk と証明 P は、補助記憶装置 603 に記憶される。

【0078】

ステップ S_{630} において、検証部 630 は、公開鍵 pk と証明 P を入力にして検証アルゴリズムを実行する。

これにより、検証結果 V が生成される。 20

【0079】

検証アルゴリズムは、検証結果 V を生成するためのアルゴリズムである。

検証アルゴリズム ($Verify$) の例について、以下に説明する。

【0080】

$Verify_i$ は、証明 P_i を検証するためのアルゴリズムである。

例えば、検証アルゴリズム ($Verify$) は、以下のように表される。

【0081】

【数5】

$Verify(pk, P):$

30

$$V_1 := Verify_1(pk, P_1), \dots, Verify_n(pk, P_n)$$

$$\text{if}(V_1 \wedge \dots \wedge V_n = \text{true})$$

$$V := c$$

$$\text{if}(V_1 \wedge \dots \wedge V_n = \text{false})$$

40

$$V := \perp$$

【0082】

$Verify_i$ の種類 ($V_a \sim V_f$) は、以下の通りである。

(V_a) CNNの第 i 層が $ReLU$ 活性化層である場合、 $Verify_i$ の種類は $Verify_{ReLU}$ である。

(V_b) CNNの第 i 層が $Affine$ 層である場合、 $Verify_i$ の種類は $Verify_{Affine}$ である。 50

(V_c) CNNの第 i 層が畳み込み層である場合、 $Verify_i$ の種類は $Verify_{Conv}$ である。

(V_d) CNNの第 i 層がAverage Pooling層である場合、 $Verify_i$ の種類は $Verify_{AP}$ である。

(V_e) CNNの第 i 層がMax Pooling層である場合、 $Verify_i$ の種類は $Verify_{MP}$ である。

(V_f) CNNの第 i 層がSoftMax層である場合、 $Verify_i$ の種類は $Verify_{SoftMax}$ である。

【0083】

$Verify_i$ の各種類($V_a \sim V_f$)について後述する。

10

【0084】

ステップS640において、出力部640は、検証結果 V を出力する。

例えば、出力部640は、検証結果 V をディスプレイに表示する。

【0085】

プロトコルおよび整数値表示の説明

実施の形態1で使用されるゼロ知識証明のプロトコルに関して、以下のプロトコルを説明する。また、実施の形態1における小数の整数値表示を説明する。

(1) Schnorrプロトコル

(2) 複数次数に対するSchnorrプロトコル

(3) 一般化Schnorrのプロトコル

20

(4) OR Proofプロトコル

(5) nOR Proofプロトコル

(6) 小数の整数値表示

(7) Range Proofsプロトコル

(8) Multiplication Proofsプロトコル

(9) The ReLU Layerプロトコル[P_a, V_a]

(10) The Affine Layerプロトコル[P_b, V_b]

(11) The Convolution Layerプロトコル[P_c, V_c]

(12) The Average Pooling Layerプロトコル[P_d, V_d]

(13) The Max Pooling Layerプロトコル[P_e, V_e]

30

(14) The SoftMax Layerプロトコル[P_f, V_f]

【0086】

(1) Schnorrプロトコルについて説明する。

「 g 」が G の生成元である。このとき、 $x \in \mathbb{Z}_p$ に対して $y = g^x$ が成り立つ。

Schnorrプロトコルは、検証者に対して x に関する情報を一切与えずに、証明者が $y = g^x$ における x を知っていることを証明するためのプロトコルである。

Schnorrプロトコルは、証明生成アルゴリズム $Proveschnorr$ と、検証アルゴリズム $Verifyschnorr$ と、で構成される。

【0087】

$Proveschnorr$ は、証明 P を出力する。

40

【0088】

【数11】

$\text{Prove}_{\text{Schnorr}}(g, y, x):$

$$r \leftarrow Z_p$$

$$R := g^r$$

$$C := H(g, y, R)$$

10

$$s := r + Cx$$

$$P = (g, y, C, s)$$

【0089】

$\text{Verify}_{\text{Schnorr}}$ は、 true または false を出力する。

【0090】

【数12】

20

$\text{Verify}_{\text{Schnorr}}(g, y, C, s):$

$$HV := H(g, y, g^s/y^C)$$

if($C = HV$) true

if($C \neq HV$) false

30

【0091】

(2) 複数指数に対するSchnorrプロトコルについて説明する。複数指数に対するSchnorrプロトコルは、(1) Schnorrプロトコルを一般化して得られる。

g_1, \dots, g_n がGの生成元である。このとき、 $x_1 \in Z_p, \dots, x_n \in Z_p$ に対して式(2A)が成り立つ。

【0092】

【数13】

$$y = \prod_{i=1}^n g_i^{x_i} \quad (2A)$$

40

【0093】

複数指数に対するSchnorrプロトコルは、検証者に対して(x_1, \dots, x_n)に関する情報を一切与えずに、証明者が式(2A)における(x_1, \dots, x_n)を知っていることを証明するためのプロトコルである。

複数指数に対するSchnorrプロトコルは、証明作成アルゴリズム $\text{Prove}_{\text{MultiSchnorr}}$ と、検証アルゴリズム $\text{Verify}_{\text{MultiSchnorr}}$ と、で構成される。

50

【 0 0 9 4 】

$\text{Prove}_{\text{MultiSchnorr}}$ は、証明 P を出力する。

【 0 0 9 5 】

【 数 1 4 】

$\text{Prove}_{\text{MultiSchnorr}}(g_1, \dots, g_n, y, x_1, \dots, x_n):$

$$r_i \leftarrow Z_p \quad (i \in \{0, \dots, n\})$$

$$R := \prod_{i=1}^n g_i^{r_i}$$

10

$$C := H(g_1, \dots, g_n, y, R)$$

$$s_i := r_i + Cx_i \quad (i \in \{0, \dots, n\})$$

$$P = (g_1, \dots, g_n, y, C, s_1, \dots, s_n)$$

20

【 0 0 9 6 】

$\text{Verify}_{\text{MultiSchnorr}}$ は、 true または false を出力する。

【 0 0 9 7 】

【 数 1 5 】

$\text{Verify}_{\text{MultiSchnorr}}(g_1, \dots, g_n, y, C, s_1, \dots, s_n):$

$$HV := H(g_1, \dots, g_n, y, \prod_{i=1}^n g_i^{s_i} / y^C)$$

30

$$\text{if}(C = HV) \quad \text{true}$$

$$\text{if}(C \neq HV) \quad \text{false}$$

【 0 0 9 8 】

(3) 一般化 Schnorr プロトコルについて説明する。一般化 Schnorr プロトコルは、(2) 複数指数に対する Schnorr プロトコルを一般化して得られる。

40

$g_{1,1}, \dots, g_{1,n}, g_{2,1}, \dots, g_{m,n}$ が G の mn 個の生成元である。このとき、 $x_1 \in Z_p, \dots, x_n \in Z_p$ に対して式 (3A) が成り立つ。

【 0 0 9 9 】

【 数 1 6 】

$$\bigwedge_{j=1}^m \left(\prod_{i=1}^n g_{j,i}^{x_i} = y_j \right) \quad (3A)$$

50

【0100】

一般化 Schnorr プロトコルは、検証者に対して (x_1, \dots, x_n) に関する情報を一切与えずに、証明者が式 (3A) における (x_1, \dots, x_n) を知っていることを証明するためのプロトコルである。

一般化 Schnorr プロトコルは、証明作成アルゴリズム $\text{Prove}_{\text{GenSchnorr}}$ と、検証アルゴリズム $\text{Verify}_{\text{GenSchnorr}}$ と、で構成される。

【0101】

$\text{Prove}_{\text{GenSchnorr}}$ は、証明 P を出力する。

【0102】

【数17】

10

$$\text{Prove}_{\text{GenSchnorr}} \left((g_{j,i})_{j \in [m], i \in [n]}, (y_j)_{j \in [m]}, (x_i)_{i \in [n]} \right):$$

$$r_1, \dots, r_n \leftarrow Z_p$$

$$R_1 := \prod_{i=1}^n g_{1,i}^{r_i}, \dots, R_m := \prod_{i=1}^n g_{m,i}^{r_i}$$

$$C := H \left((g_{j,i})_{j \in [m], i \in [n]}, (y_j)_{j \in [m]}, (R_j)_{j \in [m]} \right)$$

20

$$s_1 := r_1 + Cx_1, \dots, s_n := r_n + Cx_n$$

$$P := \left((g_{j,i})_{j \in [m], i \in [n]}, (y_j)_{j \in [m]}, C, s_1, \dots, s_n \right)$$

【0103】

30

$\text{Verify}_{\text{GenSchnorr}}$ は、true または false を出力する。

【0104】

【数18】

$$\text{Verify}_{\text{GenSchnorr}} \left((g_{j,i})_{j \in [m], i \in [n]}, (y_j)_{j \in [m]}, C, s_1, \dots, s_n \right):$$

$$HV := H \left((g_{j,i})_{j \in [m], i \in [n]}, (y_j)_{j \in [m]}, \left(\prod_{i=1}^n g_{j,i}^{s_i} / y_j^C \right)_{j \in [m]} \right)$$

$$\text{if}(C = HV) \quad \text{true}$$

40

$$\text{if}(C \neq HV) \quad \text{false}$$

【0105】

(4) OR Proof プロトコルについて説明する。

$g_{1,1}, \dots, g_{1,n}, g_{2,1}, \dots, g_{m,n}$ が G の mn 個の生成元である。このとき、 $x = (x_1, \dots, x_n)$ に対して式 (4A) が成り立つ。

50

【 0 1 0 6 】

【 数 1 9 】

$$f(x) = \left(\prod_{i=1}^n g_{j,i}^{x_i} \right)_{j=1,\dots,m} \quad (4A)$$

【 0 1 0 7 】

10

また、 $i = 1, 2$ に対して以下の式が成り立つ。

$$x^{(i)} = (x_1^{(i)}, \dots, x_n^{(i)}) \in (\mathbb{Z}_p)^n$$

$$y^{(i)} = f(x^{(i)})$$

【 0 1 0 8 】

OR Proof プロトコルは、検証者に対して $x^{(1)}$ と $x^{(2)}$ に関する情報を一切与えずに、証明者が $y^{(1)} = f(x^{(1)})$ における $x^{(1)}$ 、または、 $y^{(2)} = f(x^{(2)})$ における $x^{(2)}$ を知っていることを証明するためのプロトコルである。

OR Proof のプロトコルは、証明作成アルゴリズム Prove_{OR} と、検証アルゴリズム $\text{Verify}_{\text{OR}}$ と、で構成される。

【 0 1 0 9 】

20

Prove_{OR} は、証明 P を出力する。

【 0 1 1 0 】

【 数 2 0 】

30

40

50

Prove_{OR} $\left((g_{j,i})_{j \in [m], i \in [n]}, (y^{(i)}, x^{(i)})_{i=1,2} \right)$:

$$j := 3 - i \quad (i = 1 \text{ or } 2)$$

$$s^{(j)} \leftarrow (Z_p)^n$$

$$C^{(j)} \leftarrow Z_p$$

10

$$R^{(j)} := f(s^{(j)}) / (y^{(j)})^{c^{(j)}}$$

$$r^{(i)} \leftarrow (Z_p)^n$$

$$R^{(i)} := f(r^{(i)})$$

$$C := H(y^{(1)}, y^{(2)}, R^{(1)}, R^{(2)})$$

20

$$C^{(i)} := C - C^{(j)}$$

$$s^{(i)} := r^{(i)} + C^{(i)} x^{(i)}$$

$$P := \left((g_{j,i})_{j \in [m], i \in [n]}, y^{(1)}, y^{(2)}, C^{(1)}, C^{(2)}, s^{(1)}, s^{(2)} \right)$$

30

【 0 1 1 1 】

Verify_{OR}は、trueまたはfalseを出力する。

【 0 1 1 2 】

【 数 2 1 】

Verify_{OR} $\left((g_{j,i})_{j \in [m], i \in [n]}, y^{(1)}, y^{(2)}, C^{(1)}, C^{(2)}, s^{(1)}, s^{(2)} \right)$:

$$HV := H \left((g_{j,i})_{j \in [m], i \in [n]}, y^{(1)}, y^{(2)}, f(s^{(1)}) \right. \\ \left. / (y^{(1)})^{c^{(1)}}, f(s^{(2)}) / (y^{(2)})^{c^{(2)}} \right)$$

40

$$\text{if}(C^{(1)} + C^{(2)} = HV) \quad \text{true}$$

$$\text{if}(C^{(1)} + C^{(2)} \neq HV) \quad \text{false}$$

【 0 1 1 3 】

50

(5) nOR Proof プロトコルについて説明する。nOR Proof プロトコルは、(4) OR Proof プロトコルを一般化して得られる。

$g_{1,1}, \dots, g_{1,n}, g_{2,1}, \dots, g_{m,n}$ が G の mn 個の生成元である。このとき、 $x = (x_1, \dots, x_n)$ に対して式 (5A) が成り立つ。

【0114】

【数22】

$$f(x) = \left(\prod_{i=1}^n g_{j,i}^{x_i} \right)_{j=1,\dots,m} \quad (5A)$$

10

【0115】

また、 $i \in [n]$ に対して以下の式が成り立つ。

$$x^{(i)} = (x_1^{(i)}, \dots, x_n^{(i)}) \in (\mathbb{Z}_p)^n$$

$$y^{(i)} = f(x^{(i)})$$

【0116】

nOR Proof プロトコルは、検証者に対して各 $x^{(i)}$ に関する情報を一切与えずに、証明者が $y^{(i)} = f(x^{(i)})$ における $x^{(i)}$ のうちの少なくとも1つは知っていることを証明するためのプロトコルである。

20

nOR Proof プロトコルは、証明作成アルゴリズム ProvenOR と、検証アルゴリズム $\text{Verify}_{\text{OR}}$ と、で構成される。

ProvenOR は、全ての $j \in [n] \setminus \{i\}$ に対して $s(j)$ と $C(j)$ と $R(j)$ の3つの式を計算し、証明 P を出力する。

【0117】

【数23】

30

40

50

$\text{Prove}_{\text{nOR}} \left((g_{j,i})_{j \in [m], i \in [n]}, (y^{(i)}, x^{(i)})_{i \in [n]} \right) :$

$$s^{(j)} \leftarrow (Z_p)^n$$

$$C^{(j)} \leftarrow Z_p$$

$$R^{(j)} := f(s^{(j)}) / (y^{(j)})^{c^{(j)}} \quad 10$$

$$r^{(i)} \leftarrow (Z_p)^n$$

$$R^{(i)} := f(r^{(i)})$$

$$C := H \left((y^{(i)}, R^{(i)})_{i \in [n]} \right)$$

$$C^{(i)} := C - \sum_{j \in [n] \setminus \{i\}} C^{(j)} \quad 20$$

$$s^{(i)} := r^{(i)} + C^{(i)} x^{(i)}$$

$$P := \left((g_{j,i})_{j \in [m], i \in [n]}, (y^{(i)}, C^{(i)}, s^{(i)})_{i \in [n]} \right)$$

【 0 1 1 8 】

$\text{Verify}_{\text{nOR}}$ は、`true` または `false` を出力する。

【 0 1 1 9 】

【 数 2 4 】

$\text{Verify}_{\text{nOR}} \left((g_{j,i})_{j \in [m], i \in [n]}, (y^{(i)}, C^{(i)}, s^{(i)})_{i \in [n]} \right) :$

$$HV := H \left(\left(y^{(i)}, f(s^{(i)}) / (y^{(i)})^{c^{(i)}} \right)_{i \in [n]} \right)$$

$$\text{if}(C^{(1)} + \dots + C^{(n)} = HV) \quad \text{true} \quad 40$$

$$\text{if}(C^{(1)} + \dots + C^{(n)} \neq HV) \quad \text{false}$$

【 0 1 2 0 】

(6) 小数の整数値表示について説明する。

「 1 」 , 「 d 」 は正の整数であり、式 (6 A) が成り立つ。

【 0 1 2 1 】

【 数 2 5 】

$$2^{2(l+d)+1} + 2^d \leq (p-1)/2 \quad (6A)$$

【 0 1 2 2 】

このとき、小数 x の固定点表示は整数 $\langle x \rangle$ で表現される。

【 0 1 2 3 】

【 数 2 6 】

$$x = x_0 + x_1 2^{-d} \quad (x_0 \in \{-2^l, \dots, 2^l - 1\}, x_1 \in \{0, \dots, 2^d - 1\})$$

$$\langle x \rangle = x_0 2^d + x_1 \in Z_p$$

10

【 0 1 2 4 】

これにより、通常は実数で表現される畳み込みニューラルネットワークのモデルパラメータを、整数値として扱うことが可能になる。

【 0 1 2 5 】

(7) Range Proofs プロトコルについて説明する。

「g」、 「h」は、Gの生成元である。

「t」は、整数である。

Range Proofs プロトコルは、整数 t に関する情報を検証者に与えることなく、整数 t が 0 以上 2^m 未満の整数であることを証明者が証明するためのプロトコルである。

Range Proofs プロトコルは、証明作成アルゴリズム ProveRange と、検証アルゴリズム VerifyRange と、で構成される。

【 0 1 2 6 】

ProveRange は、 t の 2 進数表示の式を計算する。

【 0 1 2 7 】

【 数 2 7 】

$$t = \sum_{i=1}^{m-1} 2^i t_i \quad (t_i \in \{0, 1\})$$

$$s_1 \leftarrow Z_p, \dots, s_{m-1} \leftarrow Z_p$$

$$B_1 := g^{s_1} h^{t_1}, \dots, B_{m-1} := g^{s_{m-1}} h^{t_{m-1}}$$

40

【 0 1 2 8 】

そして、 ProveRange は、(3) 一般化 Schnorr プロトコルにおける ProveGenschnorr を用いて、以下の 4 つの式に対する証明 P を算出する。

【 0 1 2 9 】

50

【数 2 8】

$$\text{Prove}_{\text{Range}}(g, h, t):$$

$$A = g^s h^t$$

$$B_i = g^{s_i} h^{t_i} \quad (i \in \{0, \dots, m-1\})$$

$$B_i^{t_i} / B_i = g^{s_i t_i - s_i} \quad (i \in \{0, \dots, m-1\})$$

10

$$A = g^s \prod_{i=1}^{m-1} h^{2^i t_i}$$

【0 1 3 0】

Verify_{Range}は、検証結果Vを出力する。

【0 1 3 1】

20

【数 2 9】

$$\text{Verify}_{\text{Range}}(P):$$

$$V := \text{Verify}_{\text{GenSchnorr}}(P)$$

【0 1 3 2】

30

(8) Multiplication Proofs プロトコルについて説明する。

「g」, 「h」は、Gの生成元である。このとき、整数x, y, zに対して以下の式が成り立つ。

$$\langle x \rangle = x_0 + x_1 2^d$$

$$\langle y \rangle = y_0 + y_1 2^d$$

$$\langle z \rangle = z_0 + z_1 2^d$$

Multiplication Proofs プロトコルは、z、x、yに関する情報を検証者に与えることなく、整数x、y、zに対して $\langle z \rangle = \langle xy \rangle$ の関係が切り捨てを除いて成立することを証明者が証明するためのプロトコルである。

Multiplication Proofs プロトコルは、証明作成アルゴリズム Prove_{Mult}と、検証アルゴリズム Verify_{Mult}と、で構成される。

40

【0 1 3 3】

Prove_{Mult}において、各符号の意味は以下の通りである。

【0 1 3 4】

【数 3 0】

$$r_x, r_y, r_z \leftarrow Z_p$$

$$w := x_1 y_1 \bmod 2^d$$

$$r_w \leftarrow Z_p$$

$$C_w := g^{r_w} h^w$$

10

【0135】

Prove_{Mult}は、(3)一般化Schnorrプロトコルと(7)Range Proofプロトコルを用いて、以下の9つの式に対する証明Pを算出する。

【0136】

【数31】

Prove_{Mult}(g, h, x, y, z):

20

$$C_x = g^{r_x} h^{\langle x \rangle}$$

$$C_y = g^{r_y} h^{\langle y \rangle}$$

$$\langle x \rangle \in \{-2^{l+d}, \dots, 2^{l+d} - 1\}$$

$$\langle y \rangle \in \{-2^{l+d}, \dots, 2^{l+d} - 1\}$$

$$C_z = g^{r_z} h^{\langle z \rangle}$$

30

$$\langle z \rangle \in \{-2^{l+d}, \dots, 2^{l+d} - 1\}$$

$$C_w = g^{r_w} h^{\langle w \rangle}$$

$$\langle w \rangle \in \{-2^{l+d}, \dots, 2^{l+d} - 1\}$$

$$C_x^{\langle y \rangle} / (C_z^{2^d} h^w) = g^{r_x \langle y \rangle - r_z 2^d}$$

40

【0137】

Verify_{Mult}は、検証結果Vを出力する。

【0138】

【数32】

50

$\text{Verify}_{\text{Mult}}(P):$

$V := \text{Verify}_{\text{GenSchnorr}}(P)$

【0139】

(9) The ReLU Rayer プロトコルについて説明する。

ReLU関数は、畳み込みニューラルネットワークの活性化層で用いられる関数である。

10

【0140】

【数33】

$$\text{ReLU}(x) = \begin{cases} 0 & (x < 0) \\ x & (0 \leq x) \end{cases}$$

【0141】

The ReLU Rayer プロトコルは、整数 x 、 y に関する情報を検証者に与えることなく、整数 x 、 y に対して $y = \text{ReLU}(x)$ の関係が成立することを証明者が証明するためのプロトコルである。

20

【0142】

The ReLU Rayer プロトコルは、(Pa) 証明生成アルゴリズム $\text{Prove}_{\text{ReLU}}$ と、(Va) 検証アルゴリズム $\text{Verify}_{\text{ReLU}}$ と、で構成される。

【0143】

$\text{Prove}_{\text{ReLU}}$ において、各符号の意味は以下の通りである。

【0144】

【数34】

$$a := 0$$

$$r_x, r_y, r_a, r_{\text{neg}} \leftarrow Z_p$$

$$C_{\text{neg}} := g^{r_{\text{neg}}} h^{(ax)}$$

30

【0145】

$\text{Prove}_{\text{ReLU}}$ は、(4) OR proof プロトコルと (7) Range Proof プロトコルと (8) Multiplication Proofs プロトコルを用いて、以下の式に対する証明 P を算出する。

40

【0146】

【数35】

50

$\text{Prove}_{\text{ReLU}}(g, h, x, y):$

$$C_x = g^{r_x} h^{\langle x \rangle}$$

$$\langle x \rangle \in \{-2^{l+d}, \dots, 2^{l+d} - 1\}$$

$$C_y = g^{r_y} h^{\langle y \rangle}$$

10

$$\langle y \rangle \in \{-2^{l+d}, \dots, 2^{l+d} - 1\}$$

$$C_a = g^{r_a} h^{\langle a \rangle}$$

$$\langle a \rangle \in \{-2^{l+d}, \dots, 2^{l+d} - 1\}$$

$$\langle ax \rangle = \langle a \rangle \langle x \rangle$$

20

【 0 1 4 7 】

証明 P は、次の 2 つの式のどちらかが成立することを証明する。

【 0 1 4 8 】

【 数 3 6 】

$$\langle x \rangle \in \{-2^{l+d}, \dots, 2^{l+d} - 1\} \wedge C_{neg}/C_y = g^\delta$$

$$\langle x \rangle \in \{0, \dots, 2^{l+d} - 1\} \wedge C_x/C_y = g^\delta$$

30

【 0 1 4 9 】

$\text{Verify}_{\text{ReLU}}$ は、検証結果 V を出力する。

【 0 1 5 0 】

【 数 3 7 】

$\text{Verify}_{\text{ReLU}}(P):$

40

$$V := \text{Verify}_{\text{OR}}(P)$$

【 0 1 5 1 】

(10) The Affine Layer プロトコルについて説明する。

The Affine Layer プロトコルは、 x 、 y 、 A 、 b に関する情報を検証者に与えることなく、 $A \in \mathbb{R}^{n \times n}$ 、 $b \in \mathbb{R}^n$ 、 $x, y \in \mathbb{R}^n$ に対して $y = Ax + b$ が成り立

50

つことを証明者が証明するためのプロトコルである。

A, b, x, y は、以下の通りである。

【0152】

【数38】

$$A = \begin{pmatrix} a_{1,1} & \cdots & a_{1,n} \\ \vdots & \ddots & \vdots \\ a_{n,1} & \cdots & a_{n,n} \end{pmatrix},$$

$$b = (b_1, \dots, b_n), x = (x_1, \dots, x_n), y = (y_1, \dots, y_n)$$

10

【0153】

The Affine Layer Protocol は、(P_b) 証明生成アルゴリズム $\Delta \text{ProveAffine}$ と、(V_b) 検証アルゴリズム $\Delta \text{VerifyAffine}$ と、で構成される。

【0154】

ProveAffine において、各符号の意味は以下の通りである。

【0155】

【数39】

$$r_{a_{i,j}}, r_{x_i}, r_{y_i}, r_{i,j}, r_{b_i} \leftarrow Z_p \quad ((i, j) \in [n] \times [n])$$

$$C'_{i,j} := g^{r_{i,j}} h^{(a_{i,j} x_j)} \quad ((i, j) \in [n] \times [n])$$

20

【0156】

ProveAffine は、(3) 一般化 Schnorr プロトコルと (7) Range Proofs プロトコルと (8) Multiplication Proofs プロトコルを用いて、以下の式に対する証明 P を算出する。

【0157】

【数40】

30

40

50

Prove_{Affine}(g, h, x, y, b, A):

$$C_{a_{i,j}} = g^{r_{a_{i,j}}} h^{\langle a_{i,j} \rangle} \quad ((i, j) \in [n] \times [n]),$$

$$\langle a_{i,j} \rangle \in \{-2^{l+d}, \dots, 2^{l+d} - 1\} \quad ((i, j) \in [n] \times [n]),$$

$$C_{b_i} = g^{r_{b_i}} h^{\langle b_i \rangle} \quad (i \in [n]),$$

$$\langle b_i \rangle \in \{-2^{l+d}, \dots, 2^{l+d} - 1\} \quad (i \in [n]),$$

$$C_{x_i} = g^{r_{x_i}} h^{\langle x_i \rangle} \quad (i \in [n]),$$

$$\langle x_i \rangle \in \{-2^{l+d}, \dots, 2^{l+d} - 1\} \quad (i \in [n]),$$

$$C_{y_i} = g^{r_{y_i}} h^{\langle y_i \rangle} \quad (i \in [n]),$$

$$\langle y_i \rangle \in \{-2^{l+d}, \dots, 2^{l+d} - 1\} \quad (i \in [n]),$$

$$\langle a_{i,j} x_i \rangle = \langle a_{i,j} \rangle \langle x_i \rangle \quad ((i, j) \in [n] \times [n]),$$

$$C_{y_i} / \left(\prod_{j=1}^n C'_{i,j} \right) C_{b_i} = g^{\delta_i} \quad (i \in [n]).$$

10

20

30

【0158】

Verify_{Affine}は、検証結果Vを出力する。

【0159】

【数41】

Verify_{ReLU}(P):

$$V := \text{Verify}_{\text{GenShnorr}}(P)$$

40

【0160】

(11) The Convolution Layerプロトコルについて説明する。

The Convolution Layerプロトコルは、 x, y, Conv に関する情報を検証者に与えることなく、 $x, y \in \mathbb{R}^{m \times m}$ に対して $y = \text{Conv}(x)$ が成り立つことを証明者が証明するためのプロトコルである。

Convは、畳み込みニューラルネットワークの畳み込み層で入力データ x に対して実行される演算である。

50

The Convolution Layer プロトコルは、(P_c) 証明生成アルゴリズム Prove_{Conv} と、(V_c) 検証アルゴリズム Verify_{Conv} と、で構成される。

(a_{i,j}) は Conv の重みパラメータである。このとき、入力 $x = (x_{1,1}, \dots, x_{1,m'}, \dots, x_{m,1}, \dots, x_{m,m'})$ と出力 $y = (y_{1,1}, \dots, y_{1,m'}, \dots, y_{n,1}, \dots, y_{m,m'})$ に対して、 $y_{i,j}$ は以下の式で表せる。

【0161】

【数42】

$$y_{i,j} = \sum_{i'=0}^{s-1} \sum_{j'=0}^{t-1} a_{i,j} x_{i+i',j+j'}$$

10

$$(1 \leq i \leq m - s + 1, 1 \leq j \leq m' - t + 1)$$

【0162】

そのため、(10) The Affine Layer プロトコルと同様の方法で、証明 P および検証結果 V を生成することができる。

【0163】

【数43】

20

Prove_{Conv}(g, h, x, y, b, A):

$$P := \text{Prove}_{\text{Affine}}(g, h, x, y, b, A)$$

Verify_{Conv}(P):

$$V := \text{Verify}_{\text{Affine}}(P)$$

30

【0164】

(12) The Average Pooling Layer プロトコルについて説明する。

The Average Pooling Layer プロトコルは、x、y、AP に関する情報を検証者に与えることなく、 $x, y \in \mathbb{R}^{m \times m}$ に対して $y = \text{AP}(x)$ が成り立つことを証明者が証明するためのプロトコルである。

AP は、畳み込みニューラルネットワークの Average Pooling 層で入力データ x に対して実行される演算である。

40

The Average Pooling Layer プロトコルは、(P_d) 証明生成アルゴリズム Prove_{AP} と、(V_d) 検証アルゴリズム Verify_{AP} と、で構成される。

y, x に対して、以下の関係が成立する。

「l」は、AP のフィルタにおいて、行と列のサイズであり、ストライドである。

【0165】

【数44】

50

$$x = \begin{pmatrix} x_{1,1} & \cdots & x_{1,m} \\ \vdots & \ddots & \vdots \\ x_{m,1} & \cdots & x_{m,m} \end{pmatrix}, y = \begin{pmatrix} y_{1,1} & \cdots & y_{1,m} \\ \vdots & \ddots & \vdots \\ y_{m,1} & \cdots & y_{m,m} \end{pmatrix}$$

$$y_{i,j} = \sum_{s=0}^{l-1} \sum_{t=0}^{l-1} \frac{1}{l^2} x_{(l_i+s-1),(l_j+t-1)}$$

$$(1 \leq i \leq \sqrt{m}, 1 \leq j \leq \sqrt{m}).$$

10

【 0 1 6 6 】

よって、 y は x の線形変換の形で表せる。

そのため、(10) The Affine Layer プロトコルと同様の方法で、証明 P および検証結果 V を生成できる。

【 0 1 6 7 】

【数 4 5】

$$\text{Prove}_{\text{AP}}(g, h, x, y, l):$$

20

$$P := \text{Prove}_{\text{Affinev}}(g, h, x, y, l)$$

$$\text{Verify}_{\text{AP}}(P):$$

$$V := \text{Verify}_{\text{Affine}}(P)$$

【 0 1 6 8 】

30

(13) The Max Pooling Layer プロトコルについて説明する。

The Max Pooling Layer プロトコルは、 x 、 y 、MP に関する情報を検証者に与えることなく、 $x \in \mathbb{R}^{k_m \times k_m}$ 、 $y \in \mathbb{R}^{m \times m}$ に対して $y = \text{MP}(x)$ が成り立つことを証明者が証明するためのプロトコルである。

MP は、畳み込みニューラルネットワークの Max Pooling 層で入力データ x に対して実行される演算である。

The Max Pooling Layer プロトコルは、(Pe) 証明生成アルゴリズム Prove_{MP} と、(Ve) 検証アルゴリズム $\text{Verify}_{\text{MP}}$ と、で構成される。

y 、 x に対して、以下の関係が成立する。

「 k 」は、MP のフィルタにおいて、行と列のサイズであり、ストライドである。

40

【 0 1 6 9 】

【数 4 6】

$$x = \begin{pmatrix} x_{1,1} & \cdots & x_{1,km} \\ \vdots & \ddots & \vdots \\ x_{km,1} & \cdots & x_{km,km} \end{pmatrix}, y = \begin{pmatrix} y_{1,1} & \cdots & y_{1,m} \\ \vdots & \ddots & \vdots \\ y_{m,1} & \cdots & y_{m,m} \end{pmatrix}$$

$$y_{i,j} = \max\{x_{k(i-1)+s,k(j-1)+t} \mid s, t \in [1, k]\}.$$

50

【 0 1 7 0 】

この関係が成立することを証明するために、次の式が成立することを証明する。

【 0 1 7 1 】

【数 4 7 】

$$\bigwedge_{s=0}^k \bigwedge_{t=0}^k (y_{i,j} \geq x_{k(i-1)+s,k(j-1)+t})$$

$$\wedge \bigvee_{s=0}^k \bigvee_{t=0}^k (y_{i,j} = x_{k(i-1)+s,k(j-1)+t}).$$

10

【 0 1 7 2 】

Prove_{MP}は、全ての $(i, j) \in [m] \times [m]$ に対して、以下の計算を行う。

【 0 1 7 3 】

【数 4 8 】

20

Prove_{MP}(g, h, x, y, k):

$$r_{k(i-1)+s,k(j-1)+t} \leftarrow Z_p \quad (s, t) \in [k] \times [k]$$

$$r'_{i,j} \leftarrow Z_p$$

$$C_{k(i-1)+s,k(j-1)+t} := g^{r_{k(i-1)+s,k(j-1)+t}} h^{x_{k(i-1)+s,k(j-1)+t}}$$

$$(s, t) \in [k] \times [k]$$

30

$$C'_{i,j} := g^{r'_{i,j}} h^{y_{i,j}}$$

【 0 1 7 4 】

Prove_{MP}は、(7) Range ProofsプロトコルとnOR Proofプロトコルを用いて、以下の式に対する証明Pを算出する。

【 0 1 7 5 】

【数 4 9 】

40

50

$$\langle y_{i,j} \rangle - \langle x_{k(i-1)+s,k(j-1)+t} \rangle \in \{0, \dots, 2^{l+d+1} - 1\} \quad (s, t)$$

$$\in [k] \times [k]$$

$$\bigvee_{(s,t) \in [k] \times [k]} C_{k(i-1)+s,k(j-1)+t} / C'_{i,j}$$

$$C'_{i,j} = \delta_{s,t} \quad (\delta_{s,t} = r_{k(i-1)+s,k(j-1)+t} - r'_{i,j})$$

10

【0176】

Verify_{MP}は、Verify_{nOR}を用いて、検証結果Vを生成する。

【0177】

【数50】

Verify_{MP}(P):

20

$$V := \text{Verify}_{\text{nOR}}(P)$$

【0178】

(14) The SoftMax Layer プロトコルについて説明する。

The SoftMax Layer プロトコルは、x、yに関する情報を検証者に与えることなく、x、y ∈ Rⁿに対してy = SoftMax(x)が成り立つことを証明者が証明するためのプロトコルである。

30

SoftMaxは、畳み込みニューラルネットワークのソフトマックス層で入力データxに対して実行される演算である。

x = (x₁, ..., x_n), y = (y₁, ..., y_n)に対して、y_iは式(13A)で表される。

【0179】

【数51】

$$y_i = e^{x_i} / \sum_{j=1}^n e^{x_j} \quad (13A)$$

40

【0180】

The SoftMax Layer Protocolは、入力xをx' = log e^xに置き換えて計算を行う。

よって、次のように式(13A)に対する証明を構成することができる。x', y' ∈ Rに対してy' = Zが成立することを証明するプロトコルを構成する。そのプロトコルと(8) Multiplication Proofsプロトコルと合わせることで、証明を構成することができる。

y' = Zが成立することを証明するプロトコルは、証明生成アルゴリズム Prove_e

50

x_p と、検証結果生成アルゴリズム $Verify_{exp}$ と、で構成される。

$\langle x' \rangle = x_0' \cdot 2^d + x_1'$ が成り立つ。本プロトコルは、式 (13B) を計算する代わりに、8次多項式 (13C) を用いて、式 (13D) を計算する。

【0181】

【数52】

$$2^{x_0'+x_1'/2^d} = 2^{x_0'} 2^{x_1'/2^d} \quad (13B)$$

$$P_{1045}(X) = c_8 X^8 + \dots + c_0 \quad (13C)$$

$$2^{x_1'} P_{1045}(x_0') \quad (13D)$$

10

【0182】

ただし、 c_0 から c_8 は以下の通りである。

【0183】

【数53】

$$c_0 = 0.1000000000000077443021686 \cdot 10^1$$

$$c_1 = 0.693147180426163827795756 \cdot 10^0$$

$$c_2 = 0.240226510710170646053840 \cdot 10^0$$

$$c_3 = 0.555040686204663791577440 \cdot 10^{-1}$$

$$c_4 = 0.961834122588046237497700 \cdot 10^{-2}$$

$$c_5 = 0.133273035928143781932900 \cdot 10^{-2}$$

$$c_6 = 0.155107460590052573978000 \cdot 10^{-3}$$

$$c_7 = 0.141978473997656067110000 \cdot 10^{-4}$$

$$c_8 = 0.186334772413796707600000 \cdot 10^{-5}$$

20

30

40

【0184】

証明生成アルゴリズム $Prove_{exp}$ を以下に記述する。

$x_0'[i]$ は、 x_0' の第 i ビットである。

【0185】

【数54】

50

$\text{Prove}_{\text{exp}}(g, h, x')$:

$$z_1 := \langle x_1'^1 \rangle, \dots, z_8 := \langle x_1'^8 \rangle,$$

$$u := \langle 2^{x_0'} \rangle,$$

$$d := \langle P_{1045}(x_1') \rangle,$$

10

$$r_{\text{int}}, r_{\text{int}}^{(0)}, \dots, r_{\text{int}}^{(l-1)}, r_{\text{real}}, r_{\text{real}}^{(2)}, \dots, r_{\text{real}}^{(8)}, r_d, r_u \leftarrow Z_p,$$

【 0 1 8 6 】

$\text{Prove}_{\text{exp}}$ は、(7) Range Proofsプロトコルと(8) Multiplication Proofsプロトコルと(3)一般化Schnorrプロトコルを使用して、以下の式に対する証明Pを作成する。

【 0 1 8 7 】

20

【 数 5 5 】

30

40

50

$$C_{int} = g^{r_{int}} h^{x'_0},$$

$$C_{int}^{(i)} = g^{r_{int}^{(i)}} h^{x'_0[i]} \quad i \in \{0, \dots, l-1\},$$

$$C_{real} = g^{r_{real}} h^{\langle x'_1 \rangle},$$

$$C_{real}^{(i)} = g^{r_{real}^{(i)}} h^{z_i} \quad i \in \{2, \dots, 8\},$$

10

$$C_d = g^{r_d} h^d,$$

$$C_u = g^{r_u} h^u,$$

$$\langle x'_0 \rangle \in \{2^d, \dots, 2^{d+l-1}\}, \langle x'_1 \rangle \in \{0, \dots, 2^d - 1\}, \langle x' \rangle = \langle x'_0 \rangle + \langle x'_1 \rangle,$$

$$x_1 = \prod_{i=0}^{l-1} x'_1[i] \cdot 2^i,$$

20

$$u = \prod_{i=0}^{l-1} (x'_1[i] \cdot 2^{2^i} + 1 - x'_1[i]),$$

$$z_i = z_{i-1} \cdot \langle x'_1 \rangle, z_1 = \langle x'_0 \rangle \quad i \in \{2, \dots, 8\},$$

$$d = c_8 \cdot z_8 + \dots + c_0 = \langle P_{1045}(x'_0) \rangle,$$

30

$$\langle y \rangle = \langle u \rangle \cdot \langle d \rangle.$$

【 0 1 8 8 】

検証アルゴリズム `VerifyExp` を以下に記述する。

【 0 1 8 9 】

【 数 5 6 】

`VerifyExp(P):`

40

$$V := \text{Verify}_{\text{GenShnorr}}(P)$$

【 0 1 9 0 】

The `SoftMaxLayer` プロトコルは、(Pf) 証明生成アルゴリズム `ProveSoftMax` と、(Vf) 検証アルゴリズム `VerifySoftMax` と、で構成される。

【 0 1 9 1 】

50

$\text{Prove}_{\text{SoftMax}}$ は、 $\text{Prove}_{\text{exp}}$ 、 $\text{Prove}_{\text{Mult}}$ を使用して、以下の式に対する証明 P を算出する。

【 0 1 9 2 】

【 数 5 7 】

$\text{Prove}_{\text{SoftMax}}(g, h, x, y):$

$$y_i' = 2^{x_i'} \quad i \in \{1, \dots, n\},$$

$$y_i = y_i' / \sum_{j=1}^n y_j'.$$

10

【 0 1 9 3 】

$\text{Verify}_{\text{SoftMax}}$ は、検証結果 V を出力する。

【 0 1 9 4 】

【 数 5 8 】

$\text{Verify}_{\text{SoftMax}}(P):$

20

$V := \text{Verify}_{\text{GenShnorr}}(P)$

【 0 1 9 5 】

*** 実施の形態 1 の特徴 ***

実施の形態 1 は、以下のような特徴を有する。

実施の形態 1 は、推論モデルのモデルパラメータを整数値化し、推論モデルの検証を行う。

30

各層のゼロ知識証明プロトコルのアルゴリズムは、実施の形態 1 の特徴である。

推論モデルの検証手法は、重みパラメータ（モデルパラメータ）の整数値化とゼロ知識証明プロトコルとを組み合わせることで実現される。

【 0 1 9 6 】

カッコ内に符号を記して、実施の形態 1 の特徴を示す。

推論装置（400）は、推論処理の対象となるデータ（ x ）である小数値を整数値で表現し、前記整数値を畳み込みニューラルネットワークのパラメータとして扱って推論モデル（ M ）を実行して推論結果（ c ）を得る。

証明装置（500）は、前記推論結果を入力にして証明生成アルゴリズムを実行して証明（ P ）を得る。

40

検証装置（600）は、前記証明を入力にして検証アルゴリズムを実行して検証結果（ V ）を得る。

【 0 1 9 7 】

前記推論結果が、前記畳み込みニューラルネットワークの各層の計算結果を含む。

証明装置（500）は、前記畳み込みニューラルネットワークの層ごとに、前記層の前記計算結果を入力にして前記層の種類に応じたプロトコルの前記証明生成アルゴリズムを実行する。

前記証明が、前記畳み込みニューラルネットワークの各層に対する前記証明生成アルゴリズムの実行結果を含む。

検証装置（600）は、前記畳み込みニューラルネットワークの層ごとに、前記層の前

50

記実行結果を入力にして前記層の種類に応じた前記プロトコルの前記検証アルゴリズムを実行する。

前記検証結果が、前記畳み込みニューラルネットワークの各層に対する前記検証アルゴリズムの実行結果を含む。

【0198】

実施の形態1の効果

実施の形態1は、小数の固定小数点表示を整数値で表示することにより、小数のパラメータを扱うことが可能なゼロ知識証明のプロトコルを実現する。

これにより、パラメータが小数である推論モデルに対して、推論モデルの検証を行うことが可能になる。

10

【0199】

実施の形態1は、例えば以下のような効果を奏する。

データが第三者によって分析される。第三者は、機械学習モデルによる推論サービスを提供する者である。

実施の形態1により、分析されたデータの推論結果が実際に機械学習モデルを使ってデータの推論が行われることによって得られた結果であること、を推論モデルに関する情報を開示することなく証明することができる。

【0200】

実施の形態1の方法は、小数の固定小数点表示を整数値で表示し、離散対数問題の困難性を利用したゼロ知識証明を用いる。これにより、小数のパラメータを扱うことが可能なゼロ知識証明のプロトコルが実現される。そして、パラメータが小数であるような推論モデルに対して、推論モデルの検証を行うことが可能になる。

20

【0201】

実施の形態1の補足

パラメータ生成装置200と鍵生成装置300と推論装置400と証明装置500は、互いに組み合わせられてもよい。つまり、推論検証システム100は、パラメータ生成装置200と鍵生成装置300と推論装置400と証明装置500として機能する1台以上のコンピュータを備えてもよい。

【0202】

パラメータ生成装置200の生成部220は、公開パラメータ p を生成するために、乱数生成機能などを有してもよい。

30

鍵生成装置300の生成部320は、公開鍵 p と秘密鍵 s を生成するために、乱数生成機能などを有してもよい。

【0203】

図12に基づいて、パラメータ生成装置200のハードウェア構成を説明する。

パラメータ生成装置200は処理回路209を備える。

処理回路209は、受付部210と生成部220と出力部230を実現する処理回路である。

【0204】

処理回路は、専用のハードウェアであってもよいし、メモリに格納されるプログラムを実行するプロセッサであってもよい。

40

処理回路が専用のハードウェアである場合、処理回路は、例えば、単回路、複合回路、プログラム化したプロセッサ、並列プログラム化したプロセッサ、ASIC、FPGAまたはこれらの組み合わせである。

ASICは、Application Specific Integrated Circuitの略称である。

FPGAは、Field Programmable Gate Arrayの略称である。

【0205】

パラメータ生成装置200は、処理回路209を代替する複数の処理回路を備えてもよ

50

い。

【0206】

処理回路209において、一部の機能が専用のハードウェアで実現されて、残りの機能がソフトウェアまたはファームウェアで実現されてもよい。

【0207】

このように、パラメータ生成装置200の機能はハードウェア、ソフトウェア、ファームウェアまたはこれらの組み合わせで実現することができる。

【0208】

図13に基づいて、鍵生成装置300のハードウェア構成を説明する。

鍵生成装置300は処理回路309を備える。

処理回路309は、受付部310と生成部320と出力部330を実現する処理回路である。

【0209】

鍵生成装置300は、処理回路309を代替する複数の処理回路を備えてもよい。

【0210】

処理回路309において、一部の機能が専用のハードウェアで実現されて、残りの機能がソフトウェアまたはファームウェアで実現されてもよい。

【0211】

このように、鍵生成装置300の機能はハードウェア、ソフトウェア、ファームウェアまたはこれらの組み合わせで実現することができる。

【0212】

図14に基づいて、推論装置400のハードウェア構成を説明する。

推論装置400は処理回路409を備える。

処理回路409は、受付部410と推論部420と出力部430を実現する処理回路である。

【0213】

推論装置400は、処理回路409を代替する複数の処理回路を備えてもよい。

【0214】

処理回路409において、一部の機能が専用のハードウェアで実現されて、残りの機能がソフトウェアまたはファームウェアで実現されてもよい。

【0215】

このように、推論装置400の機能はハードウェア、ソフトウェア、ファームウェアまたはこれらの組み合わせで実現することができる。

【0216】

図15に基づいて、証明装置500のハードウェア構成を説明する。

証明装置500は処理回路509を備える。

処理回路509は、受付部510と保管部520と証明部530と出力部540を実現する処理回路である。

【0217】

証明装置500は、処理回路509を代替する複数の処理回路を備えてもよい。

【0218】

処理回路509において、一部の機能が専用のハードウェアで実現されて、残りの機能がソフトウェアまたはファームウェアで実現されてもよい。

【0219】

このように、証明装置500の機能はハードウェア、ソフトウェア、ファームウェアまたはこれらの組み合わせで実現することができる。

【0220】

図16に基づいて、検証装置600のハードウェア構成を説明する。

検証装置600は処理回路609を備える。

処理回路609は、受付部610と保管部620と検証部630と出力部640を実現

10

20

30

40

50

する処理回路である。

【 0 2 2 1 】

検証装置 6 0 0 は、処理回路 6 0 9 を代替する複数の処理回路を備えてもよい。

【 0 2 2 2 】

処理回路 6 0 9 において、一部の機能が専用のハードウェアで実現されて、残りの機能がソフトウェアまたはファームウェアで実現されてもよい。

【 0 2 2 3 】

このように、検証装置 6 0 0 の機能はハードウェア、ソフトウェア、ファームウェアまたはこれらの組み合わせで実現することができる。

【 0 2 2 4 】

実施の形態 1 は、好ましい形態の例示であり、本開示の技術的範囲を制限することを意図するものではない。実施の形態 1 は、部分的に実施してもよいし、他の形態と組み合わせて実施してもよい。フローチャート等を用いて説明した手順は、適宜に変更してもよい。

【 0 2 2 5 】

推論検証システム 1 0 0 の各要素の「部」は、「処理」、「工程」、「回路」または「サーキットリ」と読み替えてもよい。

【符号の説明】

【 0 2 2 6 】

1 0 0 推論検証システム、2 0 0 パラメータ生成装置、2 0 1 プロセッサ、2 0 2 メモリ、2 0 3 補助記憶装置、2 0 4 通信装置、2 0 5 入出力インタフェース、2 0 9 処理回路、2 1 0 受付部、2 2 0 生成部、2 3 0 出力部、2 9 0 記憶部、3 0 0 鍵生成装置、3 0 1 プロセッサ、3 0 2 メモリ、3 0 3 補助記憶装置、3 0 4 通信装置、3 0 5 入出力インタフェース、3 0 9 処理回路、3 1 0 受付部、3 2 0 生成部、3 3 0 出力部、3 9 0 記憶部、4 0 0 推論装置、4 0 1 プロセッサ、4 0 2 メモリ、4 0 3 補助記憶装置、4 0 4 通信装置、4 0 5 入出力インタフェース、4 0 9 処理回路、4 1 0 受付部、4 2 0 推論部、4 3 0 出力部、4 9 0 記憶部、5 0 0 証明装置、5 0 1 プロセッサ、5 0 2 メモリ、5 0 3 補助記憶装置、5 0 4 通信装置、5 0 5 入出力インタフェース、5 0 9 処理回路、5 1 0 受付部、5 2 0 保管部、5 2 1 鍵保管部、5 2 2 推論結果保管部、5 3 0 証明部、5 4 0 出力部、5 9 0 記憶部、6 0 0 検証装置、6 0 1 プロセッサ、6 0 2 メモリ、6 0 3 補助記憶装置、6 0 4 通信装置、6 0 5 入出力インタフェース、6 0 9 処理回路、6 1 0 受付部、6 2 0 保管部、6 2 1 鍵保管部、6 2 2 証明保管部、6 3 0 検証部、6 4 0 出力部、6 9 0 記憶部、c 推論結果、D パラメータ、M 推論モデル、P 証明、p k 公開鍵、p p 公開パラメータ、s k 秘密鍵、V 検証結果、x データ、パラメータ。

10

20

30

40

50

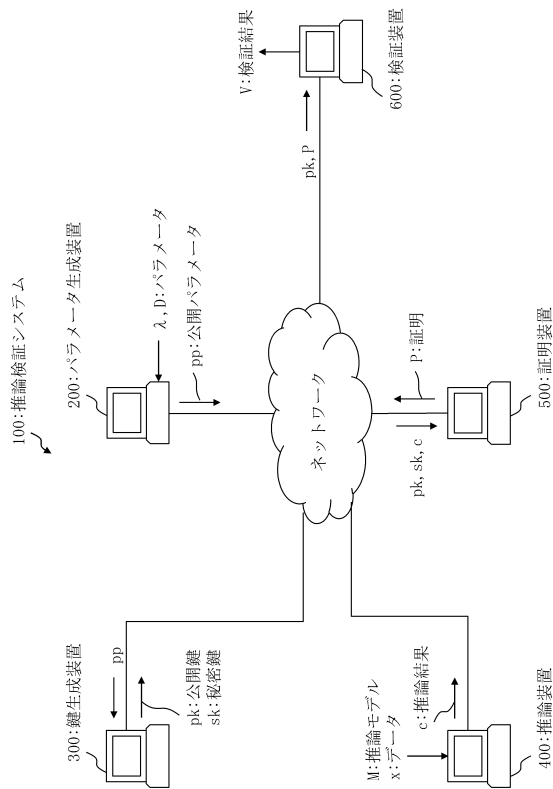
【要約】

推論装置(400)は、推論処理の対象となるデータである小数値を整数値で表現し、前記整数値を畳み込みニューラルネットワークのパラメータとして扱って推論モデルを実行して推論結果を得る。証明装置(500)は、前記推論結果を入力にして証明生成アルゴリズムを実行して証明を得る。検証装置(600)は、前記証明を入力にして検証アルゴリズムを実行して検証結果を得る。

【図面】

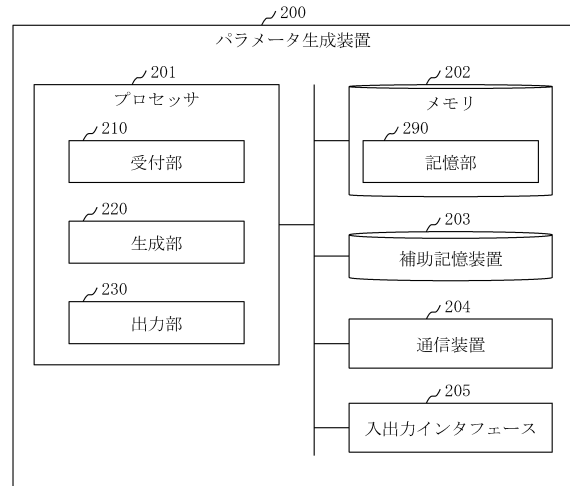
【図1】

図1



【図2】

図2



10

20

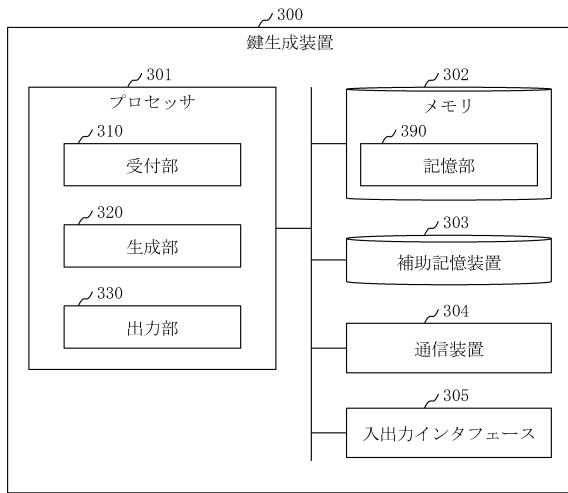
30

40

50

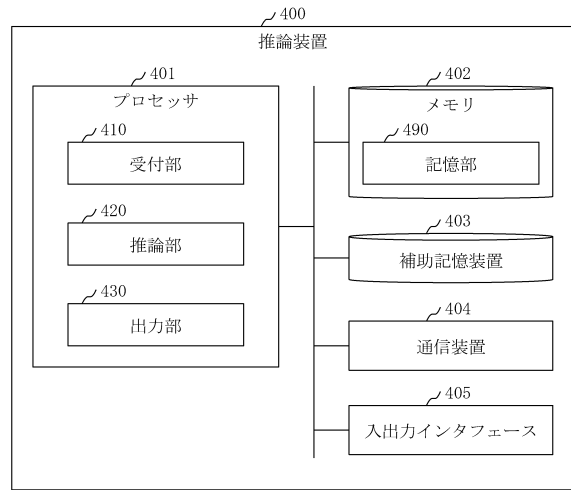
【図3】

図3



【図4】

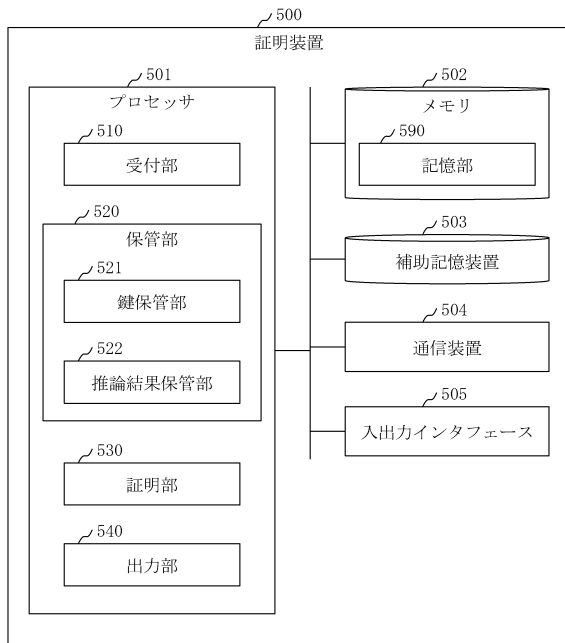
図4



10

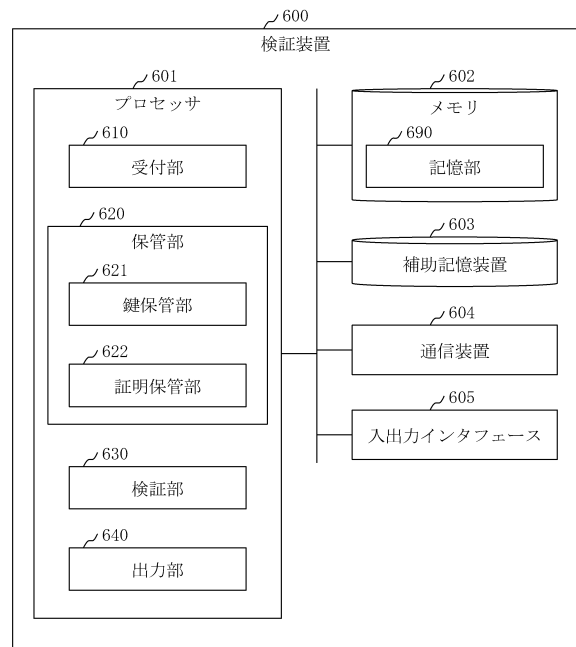
【図5】

図5



【図6】

図6



20

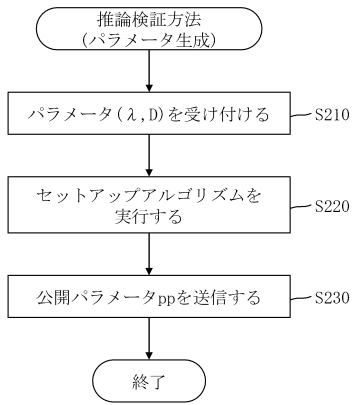
30

40

50

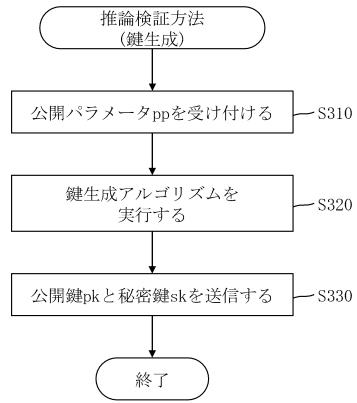
【図7】

図7



【図8】

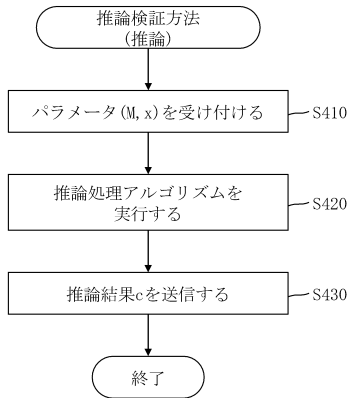
図8



10

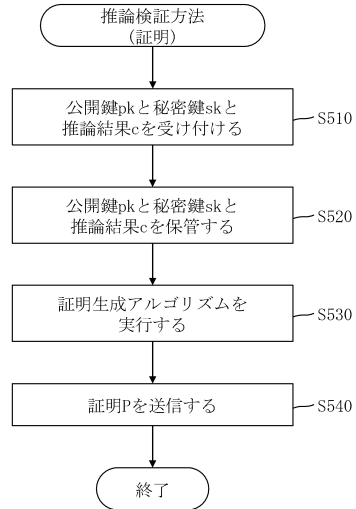
【図9】

図9



【図10】

図10



20

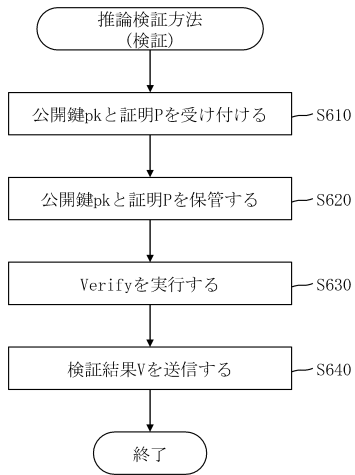
30

40

50

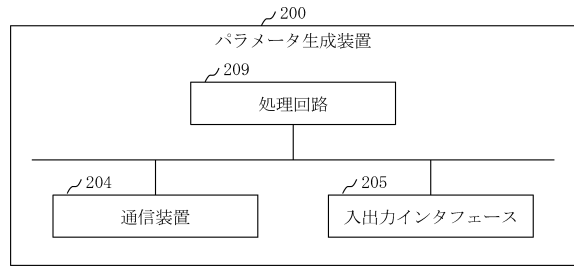
【図 1 1】

図11



【図 1 2】

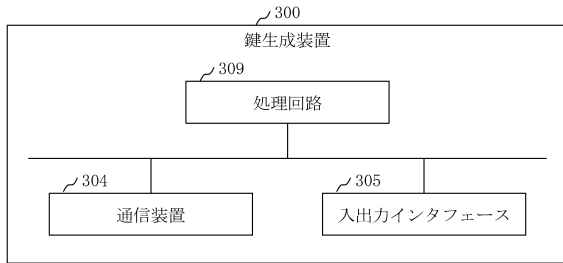
図12



10

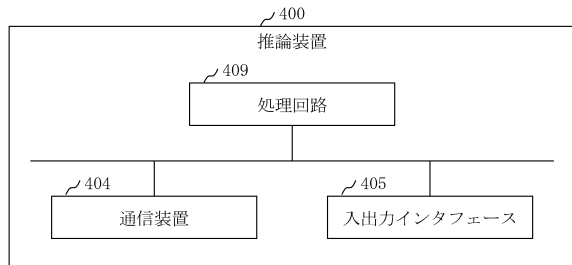
【図 1 3】

図13



【図 1 4】

図14



20

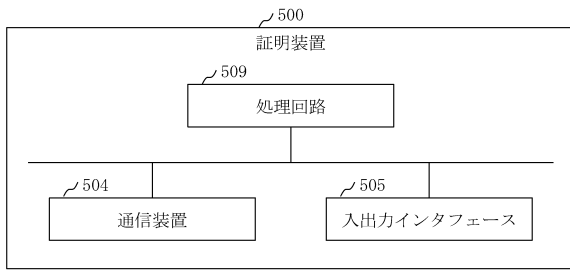
30

40

50

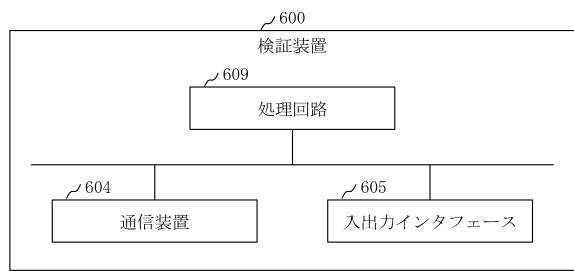
【 図 1 5 】

図15



【 図 1 6 】

図16



10

20

30

40

50

フロントページの続き

- 東京都江東区青海 2 - 3 - 2 6 国立研究開発法人産業技術総合研究所内
(72)発明者 アッタラパドゥン ナッタポン
- 東京都江東区青海 2 - 3 - 2 6 国立研究開発法人産業技術総合研究所内
(72)発明者 坂井 祐介
- 東京都江東区青海 2 - 3 - 2 6 国立研究開発法人産業技術総合研究所内
(72)発明者 シュルツ ヤコブ クロイス ナカムラ
- 東京都江東区青海 2 - 3 - 2 6 国立研究開発法人産業技術総合研究所内
審査官 千葉 久博
- (56)参考文献 米国特許出願公開第 2 0 2 1 / 0 4 0 6 4 3 6 (U S , A 1)
FENG, Boyuan et al. , ZEN: An Optimizing Compiler for Verifiable, Zero-Knowledge Neural
Network Inferences , Cryptology ePrint Archive , 2021年05月15日 , [online], [retrieved on
2022.09.16], Retrieved from the Internet: URL: <https://eprint.iacr.org/archive/2021/087/20210515:224258>
- (58)調査した分野 (Int.Cl. , D B 名)
G 0 6 N 3 / 0 4 6 4
G 0 6 N 3 / 0 2